



# Derivados triazólicos inspirados no SRPIN340: Síntese e avaliação de atividade frente ao vírus *Oropouche orthobunyavirus* causador da Febre do Oropouche

Bianca Fernandes Moizés (PG)\*1, Róbson Ricardo Teixeira (PQ)1, Ana Paula Martins de Souza (PQ)1, Adilson Vidal Costa (PQ)2, Samira Soares Santiago (PG)1

<sup>1</sup>Universidade Federal de Viçosa, Departamento de Química, Viçosa; <sup>2</sup>Universidade Federal do Espírito Santo, Departamento de Química e Física, Alegre, Espírito Santo.

\*e-mail: bianca.moizes@ufv.br

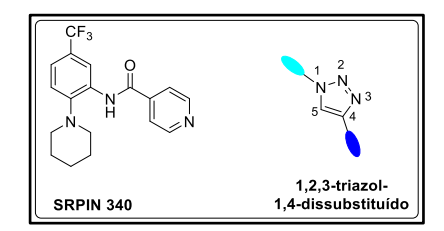
## **RESUMO**

A substância *N*-[2-(piperidin-1-il)-5-(trifluorometil)fenil)]isonicotinamida, também conhecida como SRPIN 340, é um inibidor das cinases SRPK1 e SRPK2. Esta amida possui variadas bioatividades relacionadas, dentre elas antiviral. Outra classe de compostos com reconhecida atividade antiviral associada são os 1,2,3-triazóis-1,4-dissubstituídos. Descreve-se neste trabalho a síntese de uma série de compostos 1,2,3-triazólicos inspirados no SRPIN 340 e os resultados da avaliação da atividade antiviral destes compostos frente ao *Oropouche orthobunyavirus*, o agente etiológico da Febre do Oropouche.

Palavras-chave: SRPIN340; Oropouche orthobunyavirs; Febre do Oropouche; Triazóis; Atividade antiviral; Reação CuAAC.

# Introdução

O composto SRPIN 340 (Figura 1) é um inibidor seletivo das proteínas cinases SRPK1 e SRPK2, envolvidas na fosforilação de proteínas SR, fundamentais no processamento de pré-mRNA em células eucarióticas<sup>(1)</sup>. Inicialmente descrito como antiviral contra o HIV<sup>(2)</sup>, também demonstrou atividade frente a outros vírus, incluindo HCV, dengue e SARS-CoV-2, ao interferir em etapas cruciais da replicação viral<sup>(3-5)</sup>. Os 1,2,3-triazóis-1,4-dissubstituídos (Figura 1) são uma outra classe de compostos apresentando efeitos antivirais<sup>(6)</sup>.



**Figura 1.** Estrutura do SPRIN 340 e estrutura geral dos1,2,3-triazóis-1,4-dissubstituídos.

A Febre do Oropouche é causada pelo arvovírus *Oropouche orthobunyavirus*. Ele foi descrito em humanos pela primeira vez em 1955, em Trinidad e Tobago, e no Brasil foi isolado pela primeira vez em 1960, em Belém, estado do Pará, de um animal silvestre, a preguiça-de garganta-pálida<sup>(6)</sup>.

Desde então, casos isolados e surtos foram relatados no país, sobretudo na região amazônica, considerada endêmica<sup>(7)</sup>. Os sintomas são semelhantes aos da dengue e chikungunya, incluindo febre alta, dor de cabeça, dores musculares e articulares, tontura, náuseas e vômitos e não há vacinas ou antivirais disponíveis para o tratamento dos acometidos pela Febre do Oropouche<sup>(7)</sup>.

Considerando as premissas, este trabalho objetivou a síntese de uma série de derivados 1,2,3-triazólicos-1,4-dissubstituídos derivados do SPRIN 340 e avaliação de seus efeitos sobre o vírus causador da Febre do Oropouche visando identificar possíveis compostos que possam servir como modelos para o desenvolvimento de antivirais para o tratamento desta infecção.

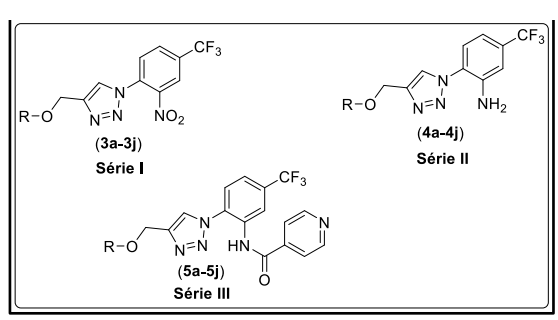
# **Experimental**

Síntese dos compostos triazólicos inspirados no SRPIN 340

Foram sintetizadas três séries (**I**, **II** e **III**) de compostos 1,2,3-triazólicos inspirados no SRPIN 340 (Figura 2). A série I (3a–3j) corresponde a nitrocompostos triazólicos contendo diferentes substituintes aromáticos benzílicos, como benzil, 4-fluorobenzil, 4-clorobenzil, 4-bromobenzil, 4-iodobenzil, 4-metilbenzil, 4-nitrobenzil, 2-clorobenzil, 3-clorobenzil e fenoximetil.

A série II (4a–4j) foi obtida por redução dos derivados da série I, e a série III (5a–5j e 5k–5t) corresponde às amidas triazólicas derivadas do SRPIN 340, preparadas por acilação das anilinas triazólicas.





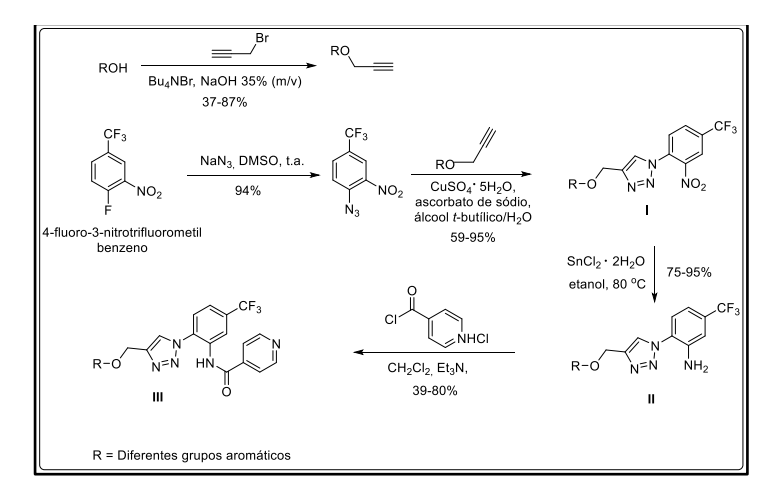
**Figura 2.** Estruturas dos compostos sintetizados neste trabalho. R = benzil (3a), 4-F-benzil (3b), 4-Cl-benzil (3c), 4-Br-benzil (3d), 4-I-benzil (3e), 4-CH<sub>3</sub>-benzil (3f), 4-NO<sub>2</sub>-benzil (3g), 2-Cl-benzil (3h), 3-Cl-benzil (3i), fenoximetil (3j).

Para a síntese dos compostos foram empregadas reações substituição nucleofílica aromática, reações de alquilação via catálise de transferência de fases, reação de cicloadição 1,3-dipolar entre um alcino e uma azida orgânica catalisada por Cu(I) (reação CuAAC, também conhecida como reação "click"), reações de redução e reações de acilação. Os compostos sintetizados foram purificados por cromatografia em coluna de sílica-gel e caracterizados via espectroscopia no IV e de RMN de <sup>1</sup>H e de <sup>13</sup>C.

Para os ensaios in vitro foram utilizadas células de linhagem contínua de rim de macaco verde africano, Vero (ATCC CCL-81) e a cepa BeAn19991 do vírus *O. orthobunyavirus* isolado de preguiça (*Bradypus tridactylus*). O vírus já se encontrava crescido e titulado previamente e mantido em freezer -80 °C até o momento de uso.

#### Resultados e Discussão

As etapas sintéticas envolvidas na preparação dos compostos é mostrada na Figura 3.



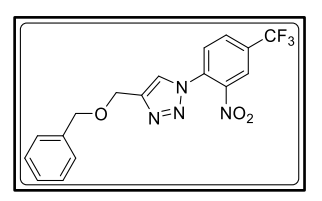
**Figura 3.** Rota sintética envolvida na preparação dos trinta derivados inspirados no SRPIN 340.

Todos os trinta derivados triazólicos sintetizados foram avaliados quanto à citotoxicidade e atividade antiviral frente ao O. orthobunyavirus.

De modo geral, apresentaram baixa citotoxicidade contra células Vero (CC $_{50} > 100~\mu mol~L^{-1}$ ) e não exibiram atividade antiviral significativa (EC $_{50} > 300~\mu mol~L^{-1}$ ). Quando avaliados contra o vírus



causador da Febre do Oropouche, verificou-se que o composto mais ativo correspondeu ao derivado 4-((benzoiloximetil)-1-(2-nitro-4-(trifluorometil)fenil)-1H-1,2,3-triazol (Figura 4), apresentando  $EC_{50}$  média de  $162,64\pm11,18~\mu mol~L^{-1}$  e  $CC_{50}$  correspondente a  $382,28\pm35,41~\mu mol~L^{-1}$ . Assim, o índice de seletividade, calculado pela razão ( $CC_{50}/EC_{50}$ ), foi igual a 2,35. Esses resultados indicam que a presença conjunta dos grupos nitro e trifluorometil, associados ao fragmento benzoiloximetil, favoreceu a atividade antiviral, enquanto os demais substituintes aromáticos testados não tiveram efeito relevante.



**Figura 4.** Estrutura do composto mais ativo frente ao vírus causador da Febre Oropouche.

#### Conclusões

Os compostos, de maneira geral, apresentaram baixa citoxicidade em células Vero ( $CC_{50} > 100~\mu mol~L^{-1}$ ). A análise de estrutura-atividade mostrou que a maioria dos substituintes aromáticos testados não conferiu atividade antiviral significativa. No entanto, observou-se que a presença conjunta dos grupos nitro e trifluorometil, associados ao fragmento benzoiloximetil, favoreceu interações importantes com o alvo viral. Esse resultado indica potenciais pontos de modificação estrutural que podem ser explorados em futuros estudos para o desenvolvimento de análogos mais potentes e seletivos contra o *O. orthobunyavirus*.

## Agradecimentos

CAPES, CNPQ, FAPEMIG, UFV.

## Referências

- ANWAR, A.; HOSOYA, T.; LEONG, K. M.; ONOGI, H.; OKUNO, Y.; HIRAMATSU, T.; KOYAMA, H.; SUZUKI, M.; HAGIWARA, M.; BLANCO, M. A. G. Plos One, 2011,
- 2. DONG, Z.; NODA, K.; KANDA, A.; FUKUHARA, J.; ANDO, R.; MURATA, M.; SAITO, W.; HAGIWARA, M.; ISHIDA, S. Molecular Vision, **2013**, 19, 536-543.
- 3. HAGIWARA M, FUKUHARA T, SUZUKI M, HOSOYA T. European patente application. WO 2005/063293, **2006**.
- 4. HEATON, B. E., TRIMARCO, J. D., HAMELE, C. E., HARDING, A. T., TATA, A., ZHU, X., TATA, P. R., SMITH, C. M., HEATON, N. S. Biorxiv, **2020**.
- HUANG, J.; ZHOU, Y.; XUE, X.; JIANG, L.; DU, J.; CUI, Y.; ZHAO, H. Biochemical and Biophysical Research Communications, 2019, 510, 97-103.
- FONSECA, L. M. S., CARVALHO, R. H., BANDEIRA, A. C., SARDI, S. I., CAMPOS, G. S. Japanese Journal of Infectious Disease, 2020, 73, 164–165.
- 7. Ministério da Saúde. Febre do Oropouche: entenda o que é e como se prevenir. Brasília, **2025**.